

## การควบคุมระบบตัวแปรตัวเดียว แบบ IMC

Internal Model Control of Single Input Single Output Systems

ดร. มงคล มงคลวงศ์โรจน์

อาจารย์ภาควิชาวิศวกรรมเครื่องกล

คณะวิศวกรรมศาสตร์

สถาบันเทคโนโลยีพระจอมเกล้าเจ้าคุณทหารลาดกระบัง

กรุงเทพฯ 10520

### บทคัดย่อ

บทความนี้กล่าวถึง การออกแบบระบบควบคุมด้วย IMC (Internal Model Control) สำหรับระบบควบคุมแบบป้อนกลับเชิงเส้นตัวแปรตัวเดียวโดยย่อ ทฤษฎีความเสถียรของระบบควบคุมด้วย IMC พร้อมทั้งแสดงตัวอย่างการออกแบบระบบควบคุมด้วย IMC เพื่อแสดงให้เห็นว่า IMC สามารถนำมายกระดับคุณภาพของระบบต่าง ๆ ในทางปฏิบัติได้เป็นอย่างดี

## บทนำ

ทฤษฎีระบบควบคุมอัตโนมัติ มีบทบาทสำคัญเป็นอย่างมากต่อวงการอุตสาหกรรม โดยเฉพาะอย่างยิ่งในยุคที่คอมพิวเตอร์ได้ถูกนำมาใช้อย่างแพร่หลาย ทฤษฎีระบบควบคุมอัตโนมัติปัจจุบันมีอยู่หลายทฤษฎีด้วยกัน อาทิเช่น Optimal Control, Smith Predictor, Inferential Control, Model Algorithmic Control, Dynamic Matrix Control และ Internal Model Control ระบบควบคุมอัตโนมัติ โดยทั่วไปนิยมใช้ระบบควบคุมแบบป้อนกลับเกณฑ์ตัดสินในการวัดคุณภาพของตัวควบคุมสามารถพิจารณาได้ดังนี้ ประการแรกความสามารถในการรักษาให้อิควาท หรือ ตัวแปรที่ต้องการควบคุมไม่เปลี่ยนแปลง เมื่อมีสิ่งรบกวนที่สามารถวัดได้หรือสิ่งรบกวนที่ไม่สามารถวัดได้ (Measureable and Unmeasureable disturbances) กระทำต่อระบบ หรือ ขนาดการณ์ ฯ ประการที่สอง เมื่อมีการเปลี่ยนค่า set point เอ้าวพุทจะต้องเปลี่ยนตามให้อย่างเรียน และ รวดเร็ว ประการที่สาม ความเสถียร และสมรรถนะของระบบจะต้องอยู่ในเกณฑ์ยอมรับได้

บทความนี้จะได้กล่าวถึงทฤษฎี Internal Model Control (IMC) ซึ่งได้ถูกพัฒนามาตั้งแต่ปี ค.ศ. 1982 โดย Gacia, C.E. และ Morari, M. [1]

สามารถเขียนเป็น Block Diagram ในรูปของลาป拉斯 ตามรูปที่ 1 ได้ดังนี้

$$m(s) = \frac{g_c(s)}{\{1 + g_c(s) [g(s) - \tilde{g}(s)]\}} [y_s(s) - d(s)] \dots\dots\dots(1)$$

$$y(s) = \frac{g(s)g_c(s)}{\{1 + g_c(s) [g(s) - \tilde{g}(s)]\}} [y_s(s) - d(s)] + d(s) \dots\dots\dots(2)$$

$m(s)$  = สัญญาณควบคุม (Manipulated Variable)

$y(s)$  = เอ้าวพุท หรือ ตัวแปรที่ต้องการควบคุม

$d(s)$  = สิ่งรบกวน (Disturbance)

$g(s)$  = ทรานเฟอร์ฟังก์ชันของระบบ

$\tilde{g}(s)$  = โมเดลคณิตศาสตร์ของระบบ

$g_c(s)$  = ตัวควบคุมระบบ (Controller)

$y_s(s)$  = ค่าที่ตั้ง (Set point)

### คุณสมบัติของ IMC

พิจารณาดึงผลที่ได้จากการที่ (2) เป็นต้นนี้

$$1) \text{ สำหรับ Perfect Model : } \tilde{g}(s) = g(s) \quad \text{แทนค่าลงในสมการที่}$$

(2) จะได้

$$y(s) = g(s) g_C(s) [y_s(s) - d(s)] + d(s) \dots \dots \dots (3)$$

สมการที่ (3) แสดงให้เห็นว่าระบบควบคุมแบบป้อนกลับจะเสถียร์ก็ต่อเมื่อ

$g(s) \cdot g_C(s)$  เสถียร์

$$2) \text{ เมื่อเลือกให้ } g_C(s) = \tilde{g}^{-1}(s) \quad \text{แล้วแทนในสมการที่ (2) ก็ จะได้}$$

$$y(t) = y_s(t) \dots \dots \dots (4)$$

สมการที่ (4) แสดงให้เห็นว่าเป็นกรณี Infinite gain

$$3) \text{ เมื่อสมมติ } \lim_{t \rightarrow \infty} d(t) = d = \text{ค่าคงที่}$$

$$\text{แล้วเลือก } \lim_{t \rightarrow \infty} y_s(t) = y_s = \text{ค่าคงที่}$$

$$\text{และ } g_C(0) = \tilde{g}^{-1}(0)$$

โดยอาศัย Final Value Theorem จะได้

$$\lim_{t \rightarrow \infty} y(t) = y_s \dots \dots \dots (5)$$

สมการที่ (5) แสดงให้เห็นว่าไม่เกิดค่าผิดพลาด (Offset)

### การออกแบบตัวควบคุมของระบบควบคุมด้วย IMC

จากคุณสมบัติของ IMC ทั้งสามข้อในสมการที่ (3) (4) และ (5) แสดงให้

เห็นว่าสามารถออกแบบตัวควบคุมโดยการแยกเทอร์โนเมเตลคณิตศาสตร์ออกเป็นสองส่วน ดังนี้

$$\tilde{g}(s) = \tilde{g}_+(s) \cdot \tilde{g}_-(s) \dots \dots \dots (6)$$

โดยที่  $\tilde{g}(s) = \text{โนเมเตลคณิตศาสตร์ของระบบ}$

$$\tilde{g}_+(s) = \text{โนเมเตลคณิตศาสตร์ซึ่งประกอบด้วย Time delay หรือ ส่วนที่ไม่เสถียร}$$

$\tilde{g}(s) = \text{โนเกลคณิตศาสตร์ที่สามารถเป็นจริงได้และเสถียร}$

เพราจะนี้ ตัวควบคุมของระบบควบคุมด้วย IMC คือ

$$g_c(s) = \tilde{g}^{-1}(s) \quad \dots \dots \dots (7)$$

เพื่อให้เป็นไปตามสมการที่ (4) คือ  $g_c(0) = \tilde{g}^{-1}(0)$  ดังนั้น จะเป็นห้องให้  $|\tilde{g}_+(0)| = 1$  และเนื่องจากว่าในทางปฏิบัติไม่สามารถให้โนเกลคณิตศาสตร์ที่สมบูรณ์เหมือนระบบจริง (Perfect Model) ดังนั้น

$$g(s) = \tilde{g}(s) [1 + L(s)] \quad \dots \dots \dots (8)$$

และ  $|L(i\omega)| \leq 1(\omega)$

โดยที่  $L(s) = \text{Uncertainty}$  ของโนเกลคณิตศาสตร์

ให้  $g_c(s) = \tilde{g}^{-1}(s) \cdot h(s) \quad \dots \dots \dots (9)$

โดยที่  $h(s) = \text{ฟิลเตอร์ (Filter)}$  ทำหน้าที่ช่วยเมื่อโนเกลคณิตศาสตร์ ไม่ Perfect.

ในระบบควบคุมอัตโนมัติควบคุมด้วย IMC ทางปฏิบัติได้แสดงในรูปที่ (2) ซึ่งเป็น Block Diagram เมื่อโนเกลคณิตศาสตร์ไม่ Perfect จากรูปที่ (2) ดังกล่าวพอสรุปให้ว่าระบบควบคุมป้อนกลับจะเสถียรได้เมื่อ

$$|h(i\omega) \cdot \tilde{g}_+(i\omega) \cdot L(i\omega)| < 1 \quad \dots \dots \dots (10)$$

เนื่องจาก  $|\tilde{g}_+(i\omega)| = 1$  จากสมการที่ (10) จะได้ขนาดของฟิลเตอร์เป็นดังนี้

$$|h(i\omega)| < 1^{-1}(\omega) \quad \dots \dots \dots (11)$$

การออกแบบระบบควบคุมด้วย IMC ขนาดของฟิลเตอร์ในทางปฏิบัติจะใช้ค่าดังนี้

$$|h(i\omega)| = [1(1 + \beta_r) + \beta_r]^{-1} \quad \dots \dots \dots (12)$$

โดยที่  $\beta_r$  เป็นค่าเฉลี่ยน safety factor ซึ่งมากกว่า หรือเท่ากับประมาณ -3 dB หรือเท่ากับ  $\frac{1}{\sqrt{2}}$ .

ตัวอย่าง กำหนดให้ทราบเพื่อพิจารณาของระบบ

$$g(s) = \frac{s(s-1)e^{-(1+\theta)s}}{(s+2)^2} ; 0 \leq |\theta| \leq 0.2 \quad \dots \dots \dots (13)$$

### พิจารณาโน้มเคเลคณิตศาสตร์

$$\tilde{g}(s) = \frac{5(s-1)e^{-s}}{(s+2)^2} \quad \dots \dots \dots \quad (14)$$

$$\text{Uncertian } L(s) = [e^{-\theta s} - 1]; 0 \leq \theta \leq 0.2 \quad \dots \dots \dots \quad (15)$$

รูปที่ 3 แสดงการจำลองการตอบสนองของโน้มเคเลคณิตศาสตร์แบบ Open loop เมื่อ  $|\theta| = 0$

หรือ  $\tilde{g}(s) = g(s)$  ซึ่งเป็นกรณี Perfect model และรูปที่ 4 แสดงการจำลองการตอบสนองของโน้มเคเลคณิตศาสตร์แบบ Open loop เมื่อ  $|\theta| = 0.2$  เป็นกรณีที่เกิด

Maximum Error รูปที่ 5 แสดง Bode Plot ของค่า Uncertainties โดยกำหนดให้ค่า  $\beta_r = \frac{1}{\sqrt{2}}$  or  $\beta_r = 3 \text{ db}$  จากรูปดังกล่าวได้แสดงค่า  $[1(1 + \beta_r) + \beta_r]$

เพื่อใช้ในการหาค่า time Constant ของฟิลเตอร์ ซึ่งจะได้เท่ากับ 0.36 วินาที และเพื่อให้เป็นไปตามคุณสมบัติของ IMC ข้อที่ 3 คือ  $\lim_{s \rightarrow 0} h(s) = 1$  จะได้ฟิลเตอร์ของระบบเป็นดังนี้

$$h(s) = \frac{1}{(0.36s + 1)} \quad \dots \dots \dots \quad (16)$$

ขั้นต่อไป แฟกเตอร์โน้มเคเลคณิตศาสตร์ออกเป็นสองส่วนดังนี้  $\tilde{g}(s) = \tilde{g}_+(s) \cdot \tilde{g}_-(s)$

$$\text{จะได้ } \tilde{g}_-(s) = \frac{5(s+1)}{(s+2)} \quad \dots \dots \dots \quad (17)$$

$$\text{และ } \tilde{g}_+(s) = \frac{(s-1)e^{-s}}{(s+1)} \quad \dots \dots \dots \quad (18)$$

ดังนั้นตัวควบคุมระบบจะเป็น

$$g_c(s) = \frac{0.2(s+2)^2}{(s+1)} \quad \dots \dots \dots \quad (19)$$

$$\begin{aligned} \text{และ } g'_c(s) &= g_c(s) \cdot h(s) \\ &= \frac{0.2(s+2)^2}{(s+1)(0.36s+1)} \quad \dots \dots \dots \quad (19) \end{aligned}$$

ที่ Steady State

$$g_c^I(0) = \frac{4}{5}$$

เนื่องจาก

$$\tilde{g}(0) = -\frac{5}{4}$$

$$\therefore g_c^I(s) = -\frac{0.2(s+2)^2}{(s+1)(0.36s+1)} \quad \dots\dots\dots (21)$$

รูปที่ 6 แสดงรายละเอียดของส่วนประกอบต่าง ๆ ให้แก่ โนเบลคณิตศาสตร์ พิลเตอร์ และ ทราบเพอร์ฟิงชันของระบบในตัวอย่าง

รูปที่ 7 แสดงการตอบสนองของระบบควบคุมแบบป้อนกลับด้วย IMC ในกรณีที่เป็น Perfect Model คือ  $\tilde{g}(s) = g(s)$

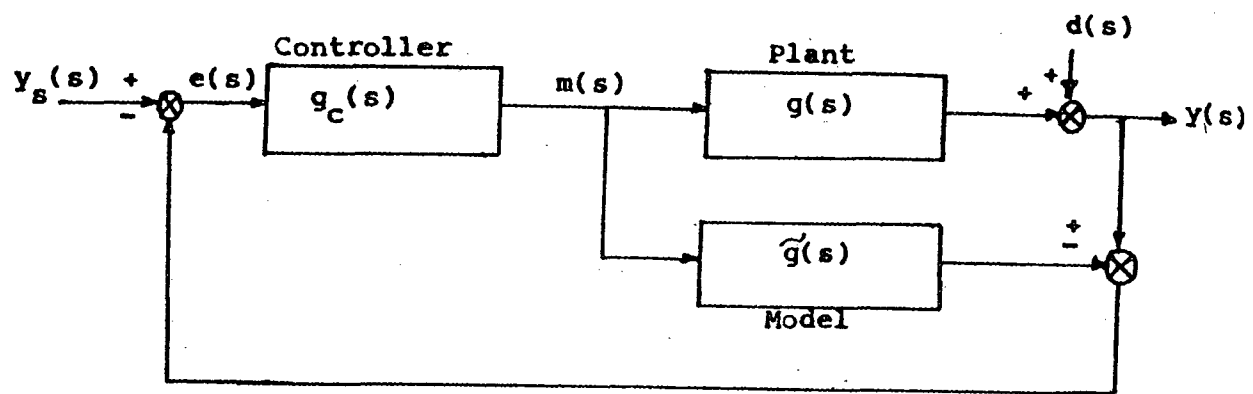
และรูปที่ 8 ให้แสดงการตอบสนองของระบบควบคุมแบบป้อนกลับด้วย IMC ในกรณีที่  $|θ| = 0.2$  คือ Maximum Model Error

สรุป

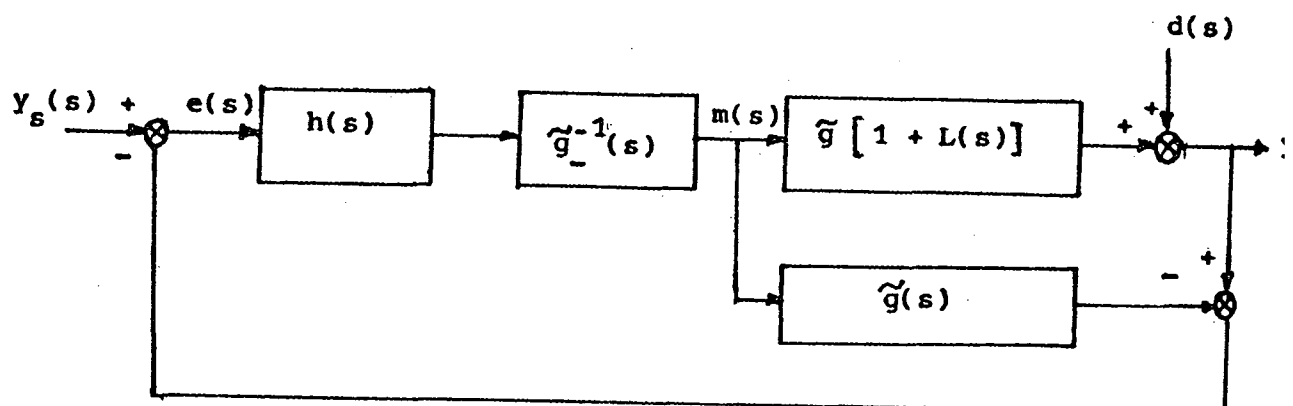
ระบบควบคุมแบบป้อนกลับด้วย IMC จะประกอบด้วยส่วนสำคัญ 3 ส่วน คือ โนเบลคณิตศาสตร์ของระบบ ตัวควบคุมระบบ และ พิลเตอร์ ในทางปฏิบัติจำเป็นต้องมีพิลเตอร์เนื่องจากว่าไม่สามารถสร้างโนเบลให้เหมือนระบบจริงได้อย่างสมมูล การออกแบบตัวควบคุม และพิลเตอร์ ต้องอาศัยทฤษฎีความเสถียรของระบบควบคุมแบบป้อนกลับ จากตัวอย่างดังกล่าวแสดงให้เห็นว่า – Internal Model Control สามารถใช้ควบคุมระบบ หรือขวนการต่าง ๆ ให้เป็นอิ่ย่างดี

เอกสารอ้างอิง

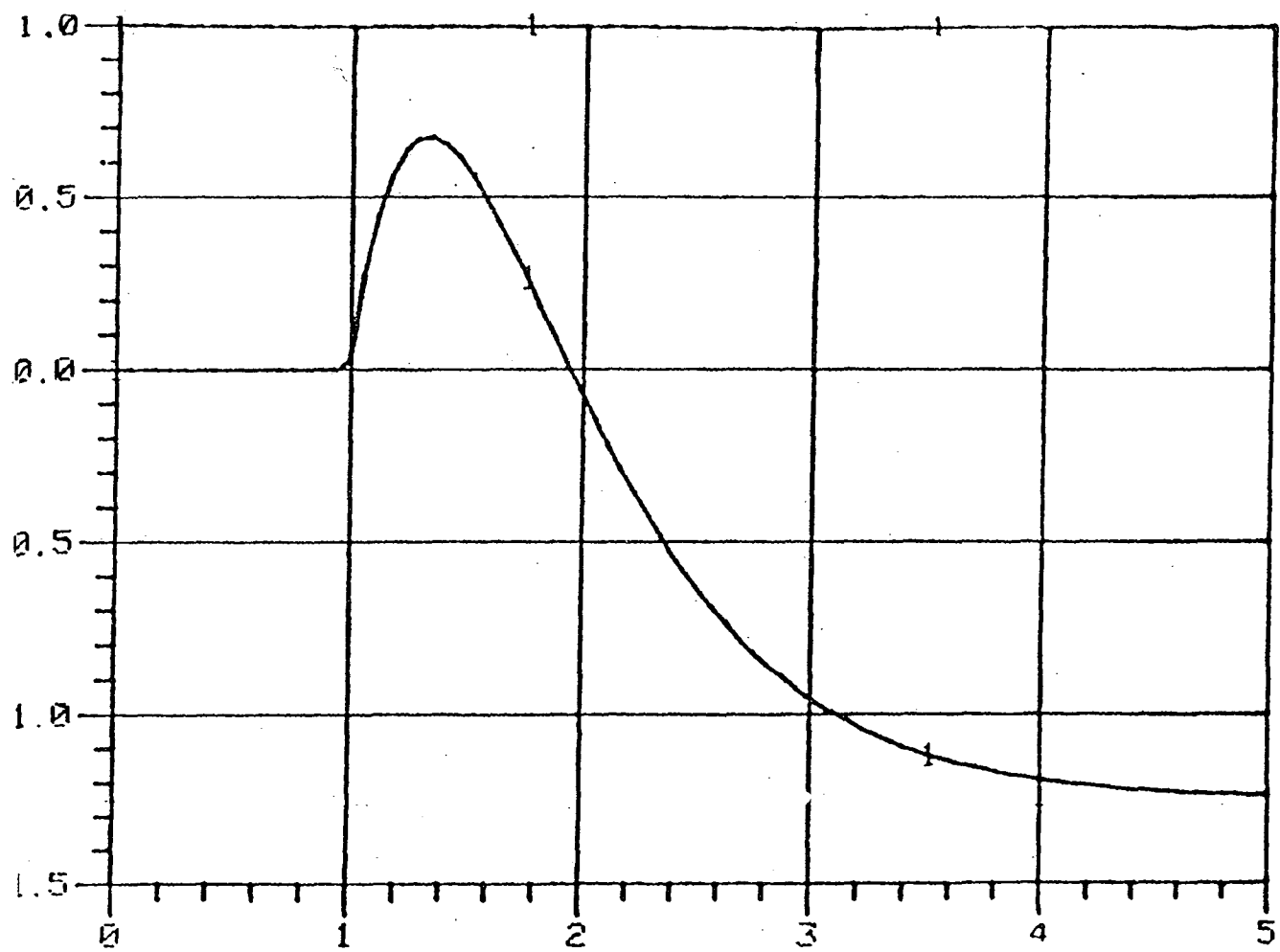
- [1] Garcia, C.E., Morari, M., "Internal Model Control 1 , A Unifying Review and Some New Results", Ing.Eng. Chem. Process. Des. Dev. PP. 308 - 323 , 1982.
- [2] Brosillow, C.B. "The Structure and Design of Smith Predictors from the Viewpoint of Inferential Control", Join Autotmatic Control Conference Proceedings, Denver, CO, 1979.
- [3] Koppel, L.B. "Introduction to Control Theory with Application to Process Control" Prentice Hall : Englewood Cliffs, NJ 1968.



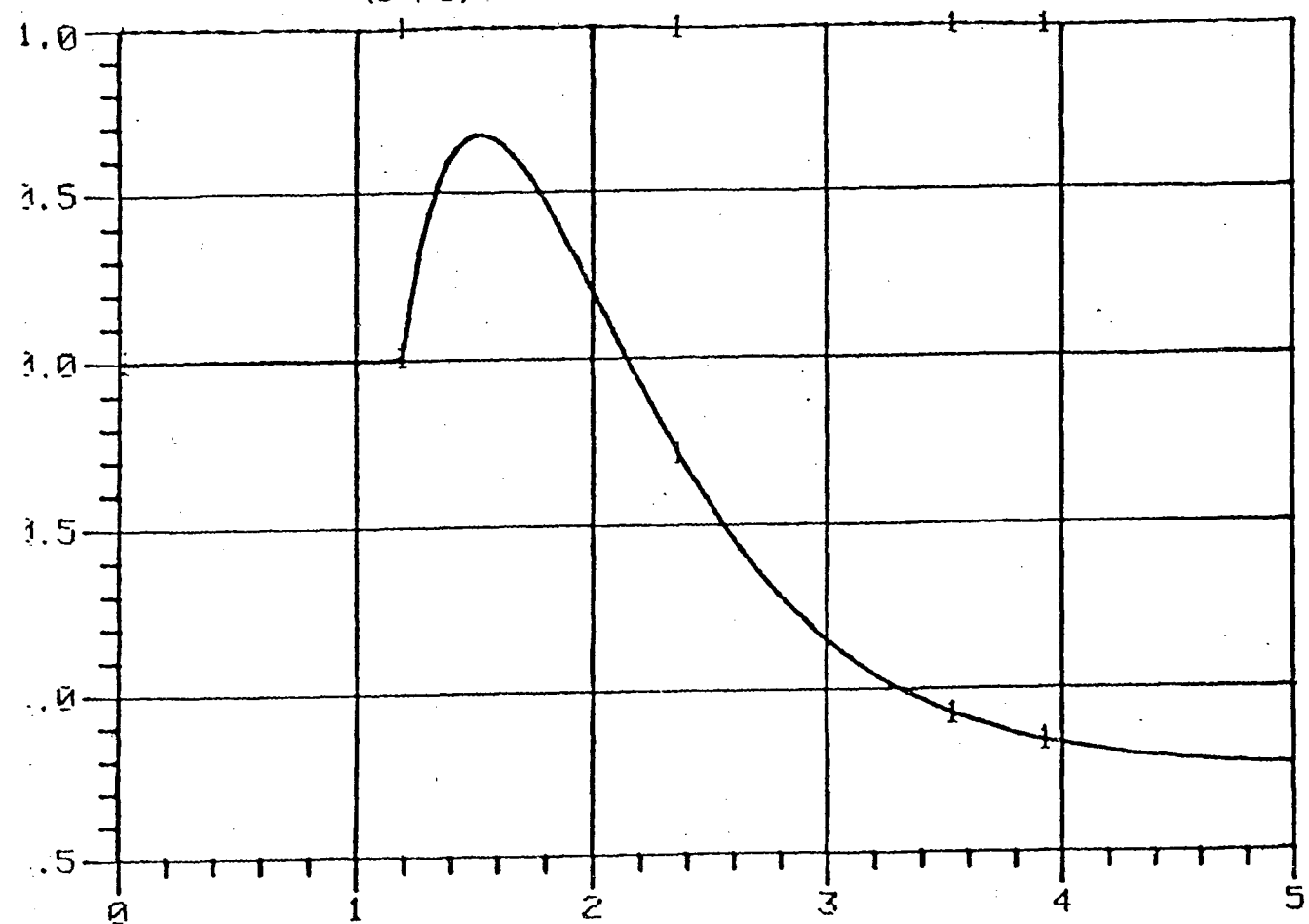
รูป 1 โครงสร้างการควบคุมระบบแบบ IMC



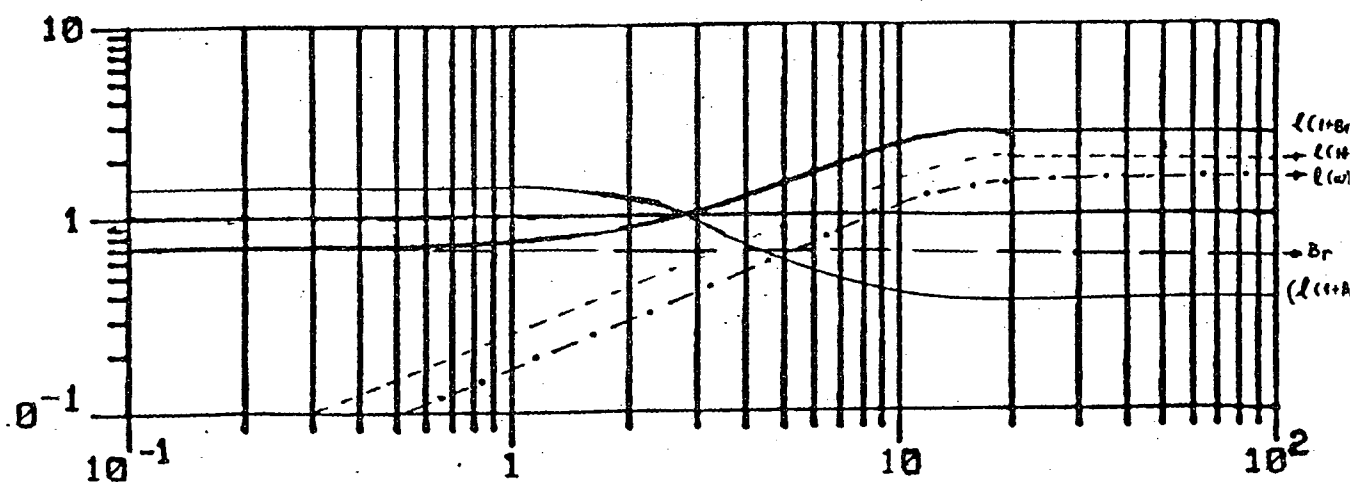
รูป 2 บล็อกไซโอด์กรรมการควบคุมระบบแบบ IMC ในกรณีที่ไม่เดลเมค่าผิดพลาด



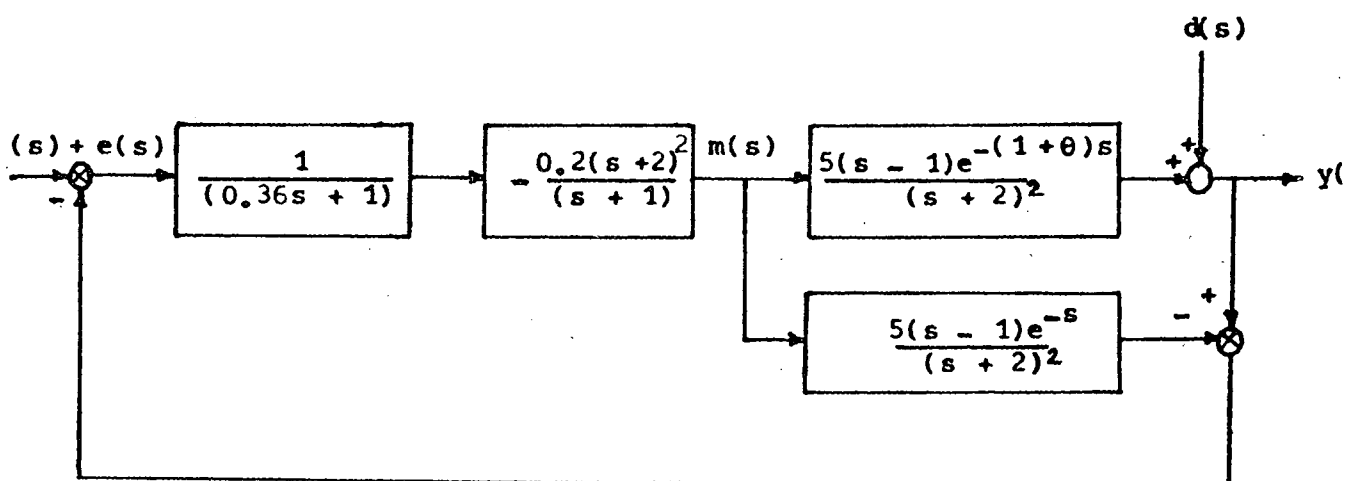
รูป 3  $g(s) = \frac{5(s-1)e^{-s}}{(s+2)^2}$  สำหรับอินพุตแบบขั้น



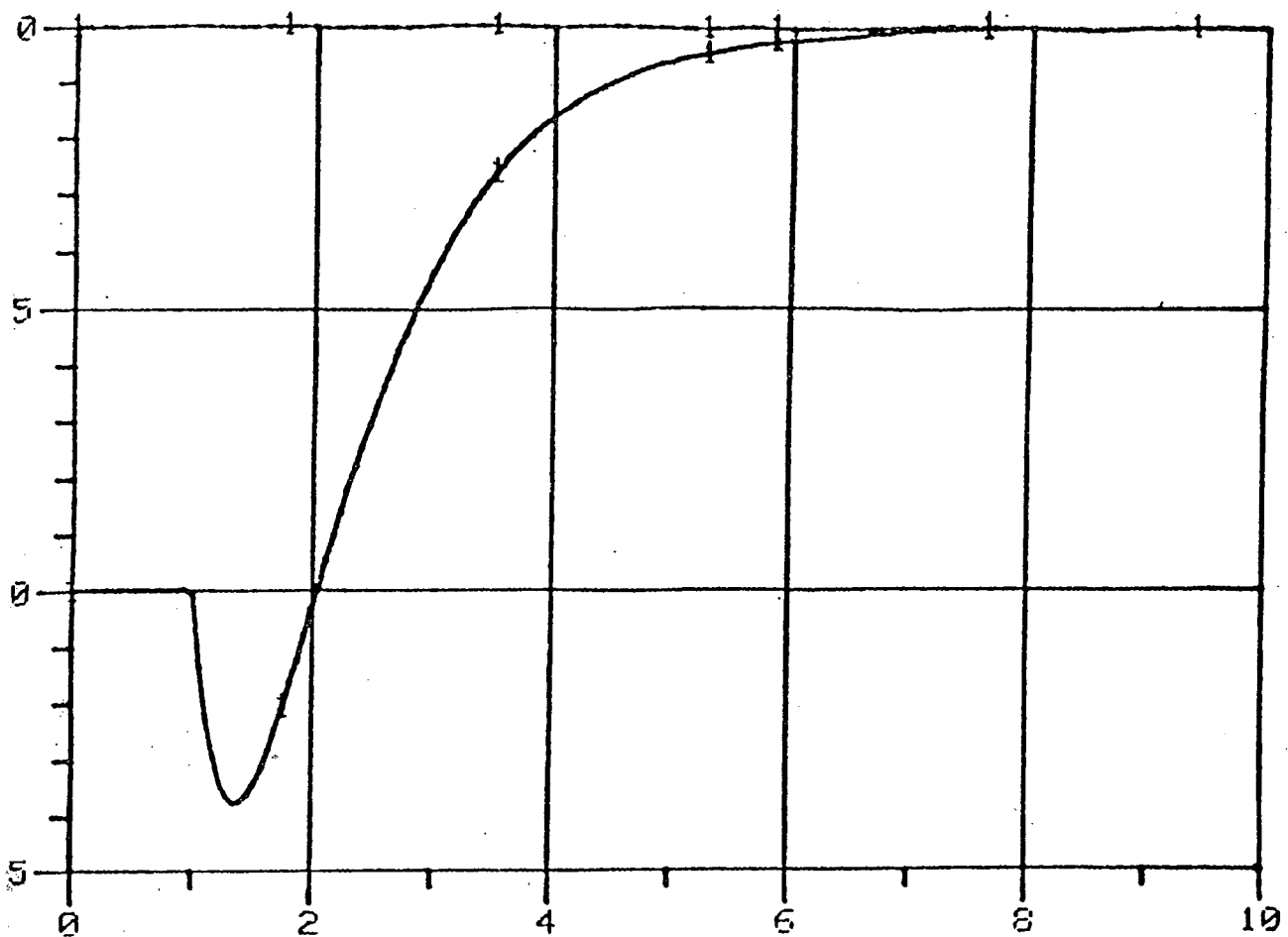
รูป 4  $g(s) = \frac{5(s-1)e^{-(1+\theta)s}}{(s+2)^2}$  สำหรับอินพุตแบบขั้น



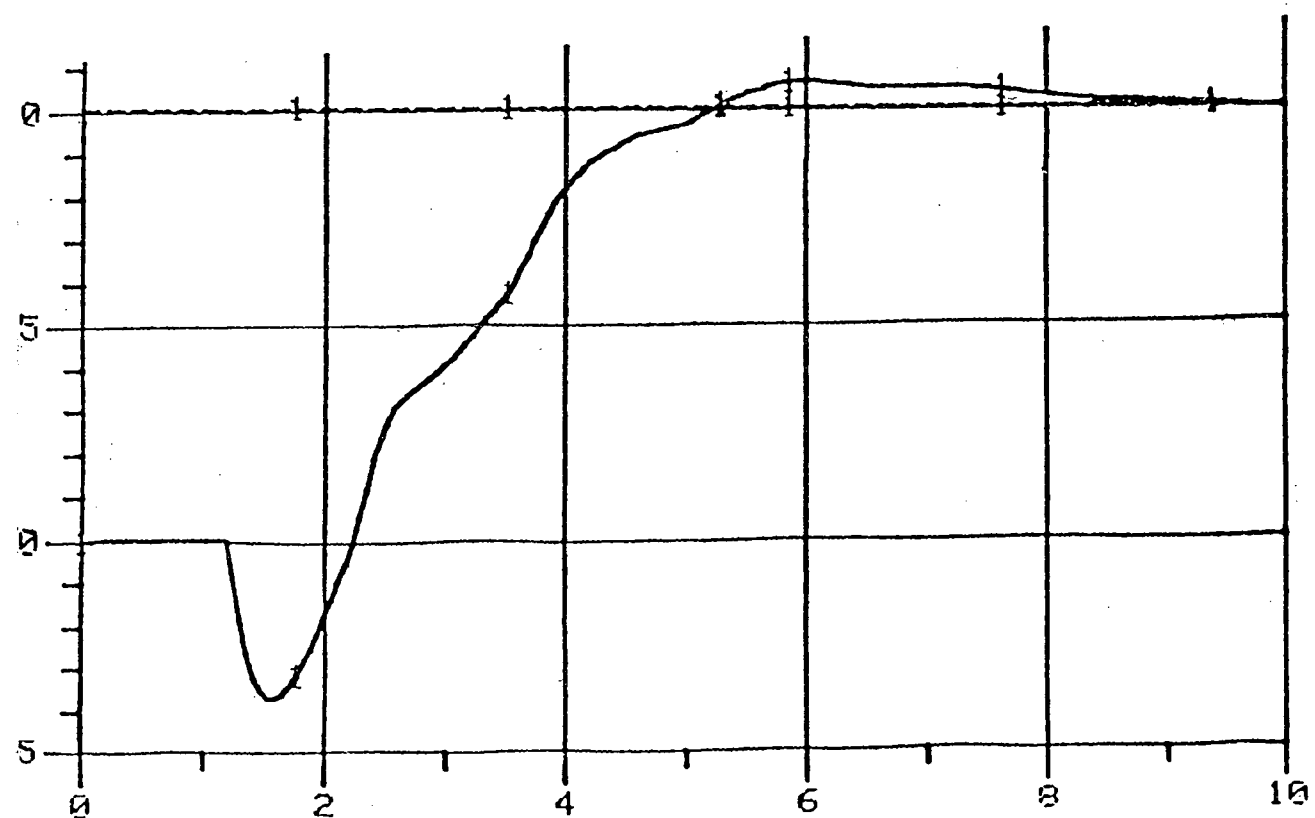
รูป 5 แสตนด์ Bode Plot ของค่า Uncertainties



รูป 6 บล็อกไซโอด์แกรมของระบบในตัวอย่างความคุมแบบ IMC



รูป 7 การตอบสนองของระบบปิดแบบบีโอนกับค่าคงที่ IMC เมื่อโนเกลไม่มีค่าผิวคลาด



รูป 8 การตอบสนองของระบบปิดแบบบีโอนกับค่าคงที่ IMC เมื่อโนเกลมีค่าผิวคลาดสูงสุด